

软件安全与漏洞分析

4.3 软件水印与软件胎记

Previously in Software Security

□ 代码混淆

- 代码混淆的可能性
- 现有的主要代码混淆方法

□ 软件防篡改

代码混淆的基本理论

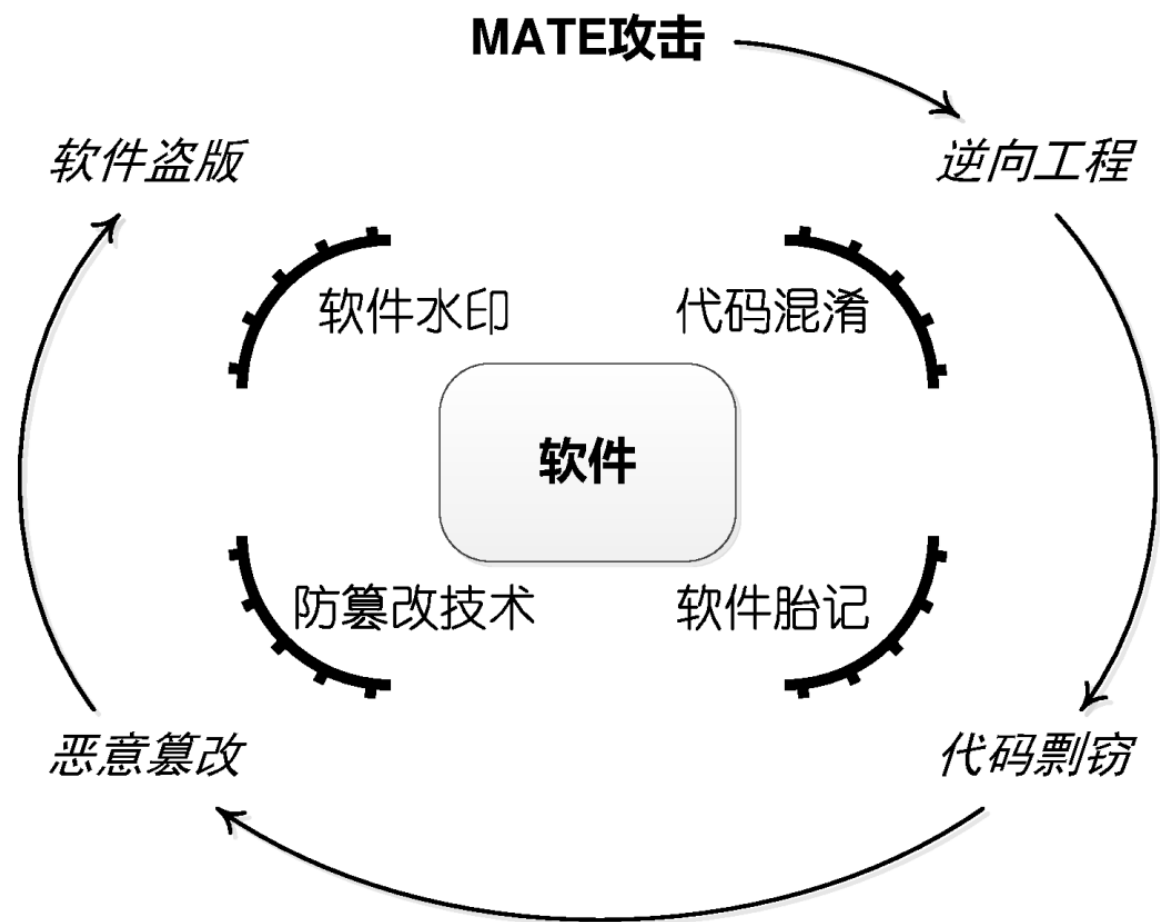
□ 本节主题1 - 软件胎记

- 方法与应用

□ 本节主题2 - 软件水印

- 一些关键性的构造思路
- 几种主要的设计

回顾：软件自我保护技术的应用场景



软件胎记

□ “胎记” 的实际含义

- 一类对象的本质特征
- 与生俱来
- 独一无二



乔治·居维叶：利用一颗牙齿，就可以恢复一个动物的全貌，乃至更多信息



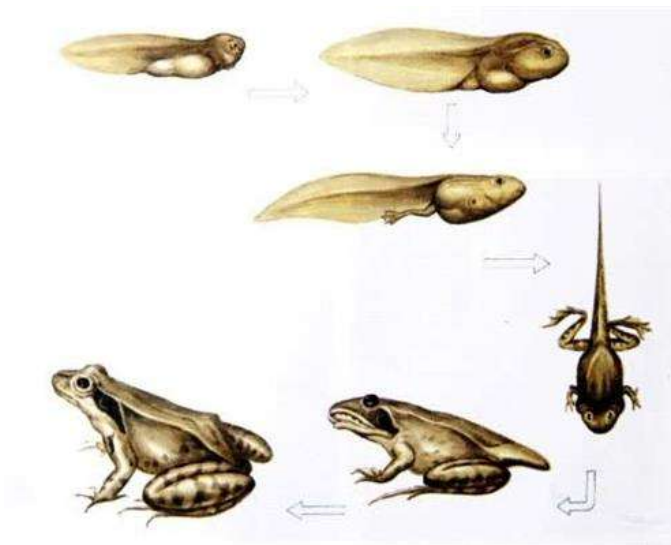
一些题外话

□ 软件保护方法中的“仿生学”

- 代码多态 (polymorphism)
- 代码变态 (metamorphism)
- 代码拟态 (mimimorphism)

□ 参考文献：

- Wu Z, Gianvecchio S, Xie M, et al. Mimimorphism: A new approach to binary code obfuscation[C]//Proceedings of the 17th ACM conference on Computer and communications security. ACM, 2010: 536-546.



软件胎记

□ 软件胎记的广义安全价值

- 反代码剽窃（未经授权使用共享库，或违反协议使用开源代码）
- 检测恶意代码（特别是经过各种伪装保护的）
- 检测移动app的重包装

□ 构造形式分类

- 静态/动态（取决于胎记所依赖的特征类型）

软件胎记

□ 静态构造举例：基于JAVA的栈行为模式

Category	Opcode	act
NORMAL	dastore lastore	-4
	aastore bastore castore dcmpl fastore iastore lcmp sastore	-3
	dadd ddiv dmul drem dreturn dstore dstore_n dsub ladd laload land ldiv lmul lor lrem lreturn lstore lstore_n lsub lushr lxor pop2	-2
	aaload areturn astore astore_n athrow baload caload d2f d2i fadd faload fcmpl fdiv fmul frem freturn fstore fstore_n fsub iadd iaload iand idiv imul ior irem ireturn ishl ishr istore istore_n isub iushr ixor l2f l2i lshl lshr monitorenter monitorexit multianewarray pop saload	-1
	anewarray arraylength checkcast d2l daload dneg f2i fneg i2b i2c i2f i2s iinc ineg instanceof l2d lneg newarray nop ret return swap wide	0
	aconst_null aload aload_n bipush dup dup_xn f2d f2l fconst_n fload fload_n i2d i2l iconst_n iload iload_n ldc ldc_w new sipush	+1
	dconst_n dload dload_n dup2 dup2_xn lconst_n ldc2_w lload lload_n	+2
BRANCH	if_acmpeq if_acmpne if_icmpeq if_icmpne if_icmplt if_icmpge if_icmpgt if_icmple	-2
	ifeq ifne iflt ifge ifgt ifle ifnonnull ifnull lookupswitch tableswitch	-1
	goto goto_w	0
	jsr jsr_w	+1
OBJECT	getfield getstatic putfield putstatic	See (1)
INVOKE	invokeinterface invokespecial invokestatic invokevirtual	See (2)

软件胎记

□ 静态构造举例：基于JAVA的栈行为模式

$$act(x) = \begin{cases} -1 - sz(fv) & \text{if } x = \text{putfield}, \\ 0 - sz(fv) & \text{if } x = \text{putstatic}, \\ -1 + sz(fv) & \text{if } x = \text{getfield}, \\ 0 + sz(fv) & \text{if } x = \text{getstatic}, \end{cases} \quad (1)$$

$$act(x) = \begin{cases} sz(r) - \sum_i sz(ar_i) & \text{if } x = \text{invokestatic}, \\ sz(r) - \sum_i sz(ar_i) - 1 & \text{otherwise.} \end{cases} \quad (2)$$

软件胎记

□ 静态构造举例：基于JAVA的栈行为模式

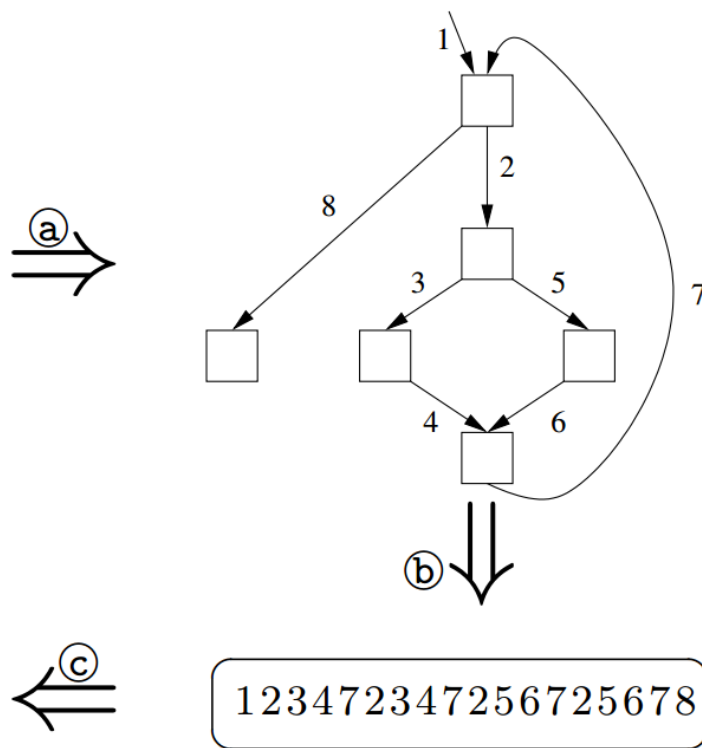
Stack Pattern <i>a</i>			Stack Pattern <i>b</i>		
Bytecode	Stack	<i>w</i>	Bytecode	Stack	<i>w</i>
iload_0	[●]	7	iload_0	[●]	7
iload_0	[●●]	7	iconst_1	[●●]	1
iconst_1	[●●●]	1	isub	[●]	4
isub	[●●]	4	invokestatic	[●]	1
invokestatic	[●●]	1	iload_0	[●●]	7
imul	[●]	6	iconst_2	[●●●]	3
ireturn	[]	2	isub	[●●]	4
			invokestatic	[●●]	1
			iadd	[●]	3
			ireturn	[]	2

软件胎记

□ 动态构造1：基于执行路径

```
int a;  
for(int i=0; i < 5; i++){  
    if(i < 3)  
        a = 1;  
    else  
        a = 2;  
}
```

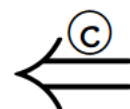
R0	→	1	R1	R1	R2	R2	8
R1	→	2	3	4	7		
R2	→	2	5	6	7		



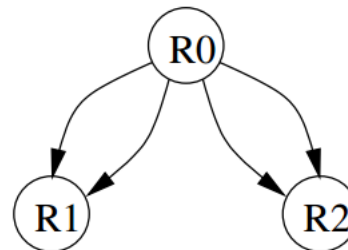
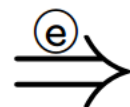
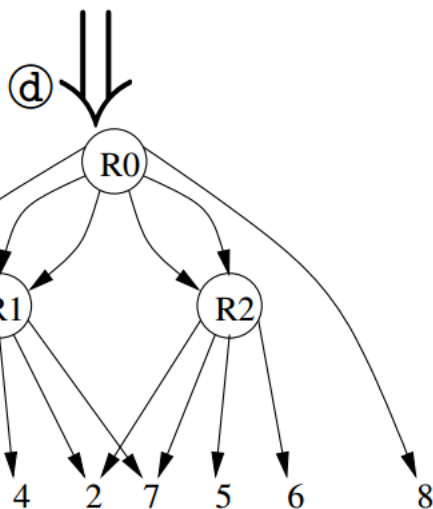
软件胎记

□ 动态构造1：基于执行路径

R0	→	1	R1	R1	R2	R2	8
R1	→	2	3	4	7		
R2	→	2	5	6	7		



123472347256725678



软件胎记

□ 动态构造2：基于程序内的系统调用

```
1. S0;  
2. If (i==1) {  
3.   S1;  
4.   for (j=0;j<3;j++)  
5.     {  
6.       S2;  
7.       S3;  
8.       S4;  
9.     }  
10. } else {  
11.   S5;  
12. }
```

(a)

S₀ S₁ S₂ S₃ S₄ S₂ S₃ S₄ S₂ S₃ S₄ S₅

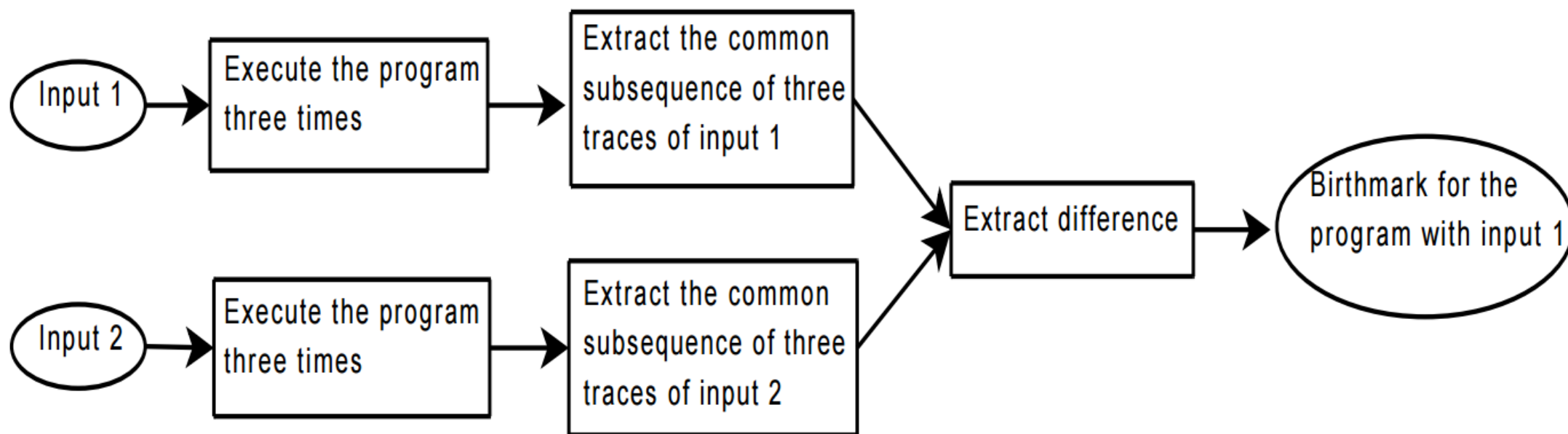
(b)

S = { S₀S₁S₂S₃, S₁S₂S₃S₄,
S₂S₃S₄S₂, S₃S₄S₂S₃, S₄S₂S₃S₄,
S₂S₃S₄S₅}

(c)

软件胎记

□ 动态构造2：基于程序内的系统调用



软件胎记

还有更多.....

软件胎记

□ 软件胎记的不足之处

- 基于相似度，仅指出可能性，而非完全准确
- 需要有标准样本作为比较依据存在
- 离线工作，在防范恶意代码/app重包装时存在滞后性

软件胎记

□参考文献 (too many...)

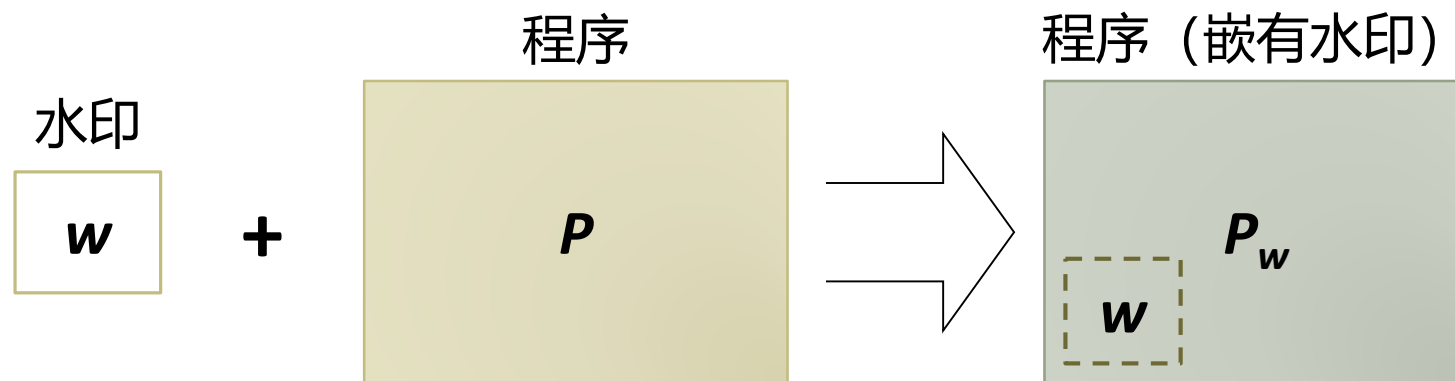
- Lim H, Heewan P, Seokwoo C, et al. Detecting theft of java applications via a static birthmark based on weighted stack patterns[J]. IEICE transactions on information and systems, 2008, 91(9): 2323-2332.
- Myles G, Collberg C. Detecting software theft via whole program path birthmarks[C]//International Conference on Information Security. Springer Berlin Heidelberg, 2004: 404-415.
- Wang X, Jhi Y C, Zhu S, et al. Detecting software theft via system call based birthmarks[C]//Computer Security Applications Conference, 2009. ACSAC'09. Annual. IEEE, 2009: 149-158.

软件胎记

□参考文献 (and more...)

- Zhang F, Huang H, Zhu S, et al. ViewDroid: Towards obfuscation-resilient mobile application repackaging detection[C]//Proceedings of the 2014 ACM conference on Security and privacy in wireless & mobile networks. ACM, 2014: 25-36.
- Huang H, Zhu S, Liu P, et al. A framework for evaluating mobile app repackaging detection algorithms[C]//International Conference on Trust and Trustworthy Computing. Springer Berlin Heidelberg, 2013: 169-186.
- Guan Q, Huang H, Luo W, et al. Semantics-based repackaging detection for mobile apps[C]//International Symposium on Engineering Secure Software and Systems. Springer International Publishing, 2016: 89-105.

软件水印



软件水印

□ 软件水印的应用形式

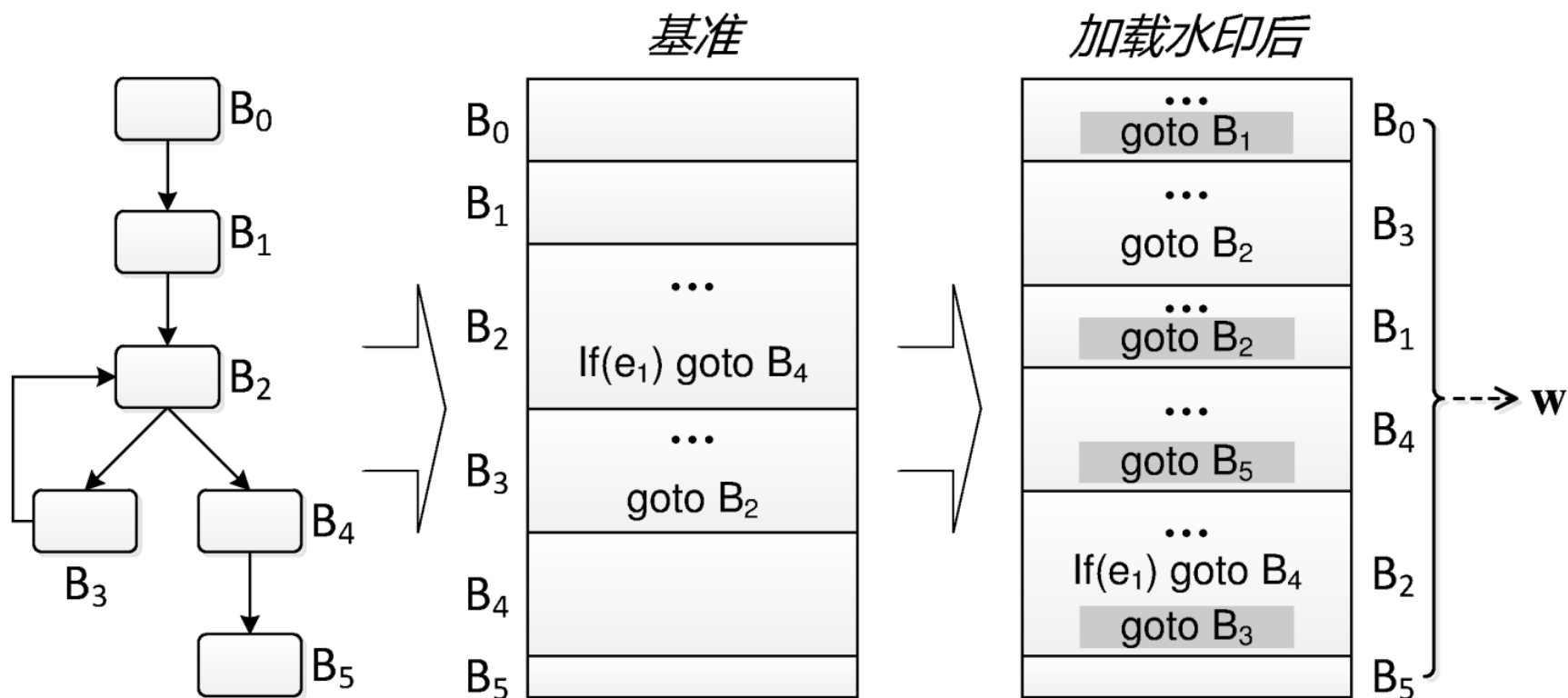
- 反盗版 – 通过声明版权
- 反盗版 – 通过追溯盗版母盘的来源

□ 软件水印的形式分类

- 静态/动态（取决于水印的构造方式）

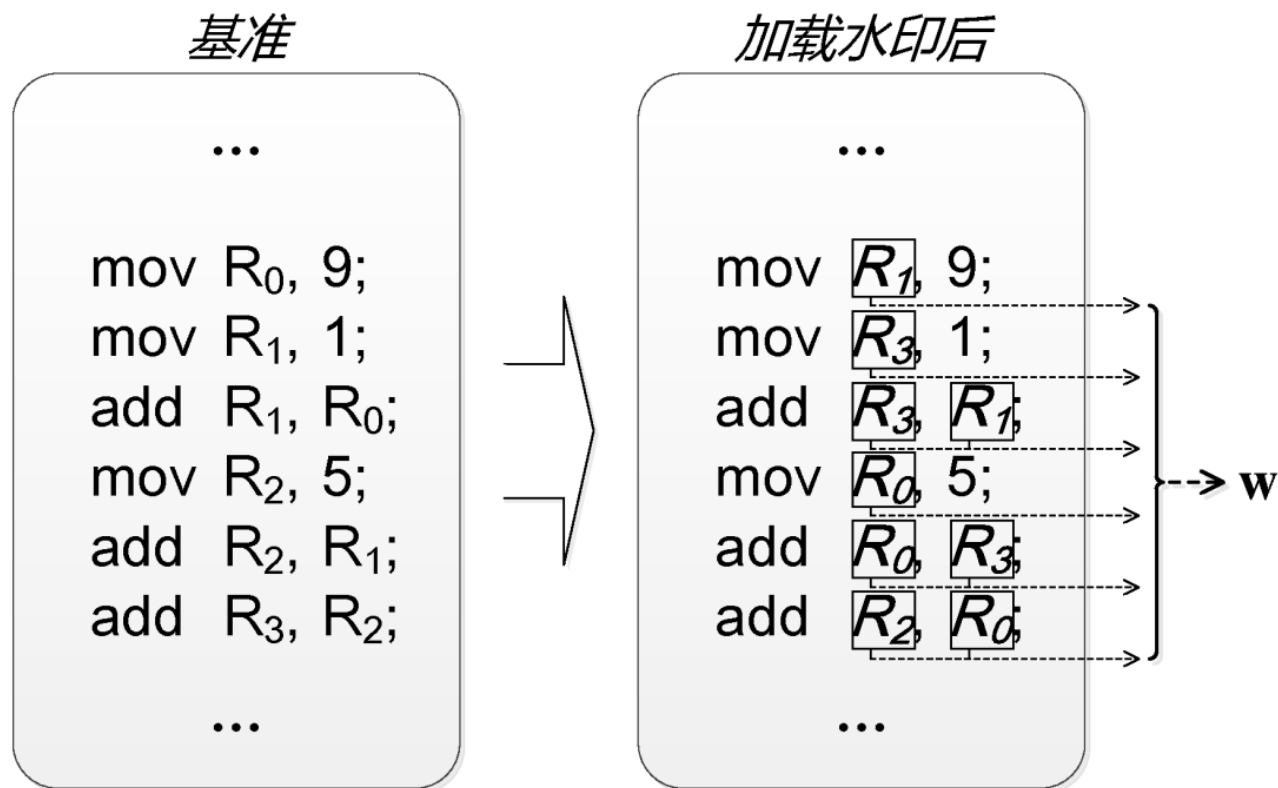
软件水印

静态构造举例：基本块重排序



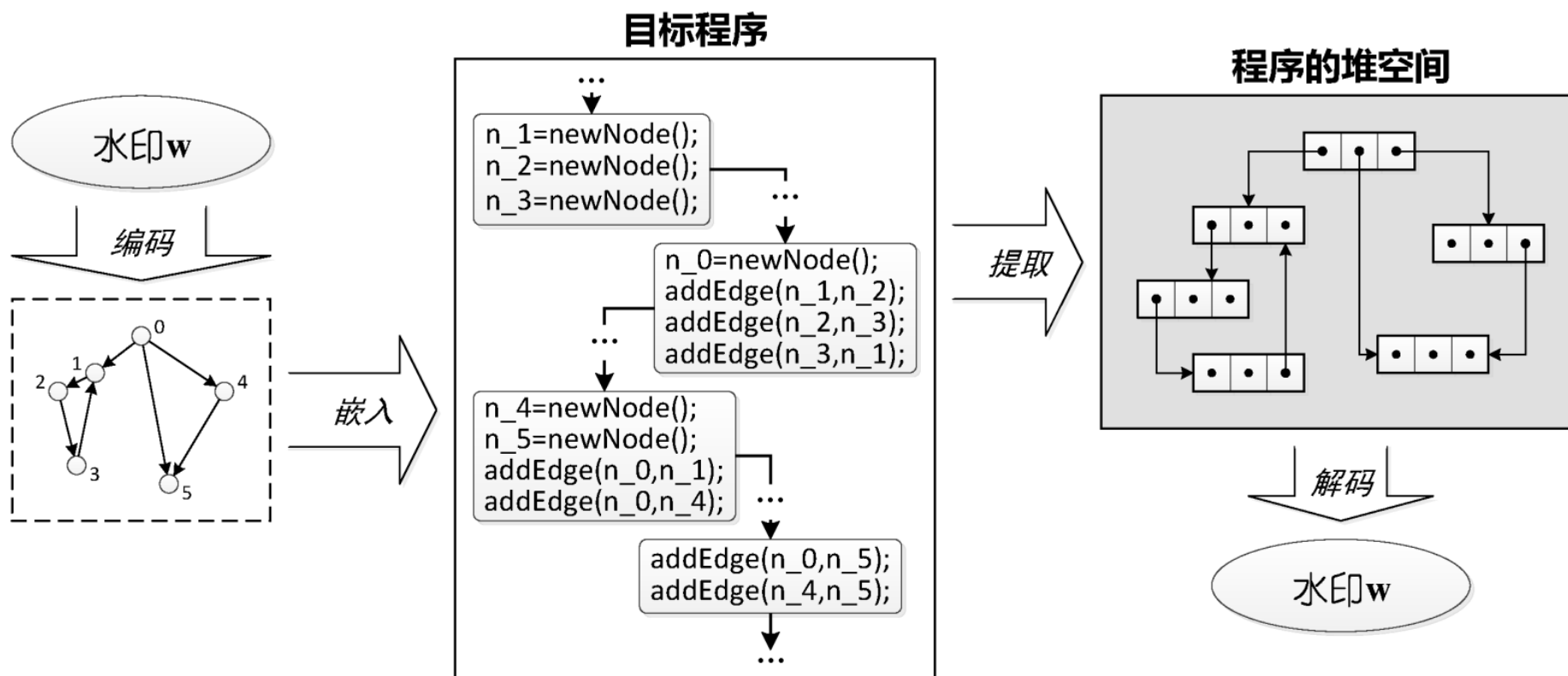
软件水印

□ 静态构造举例：寄存器占用重分配



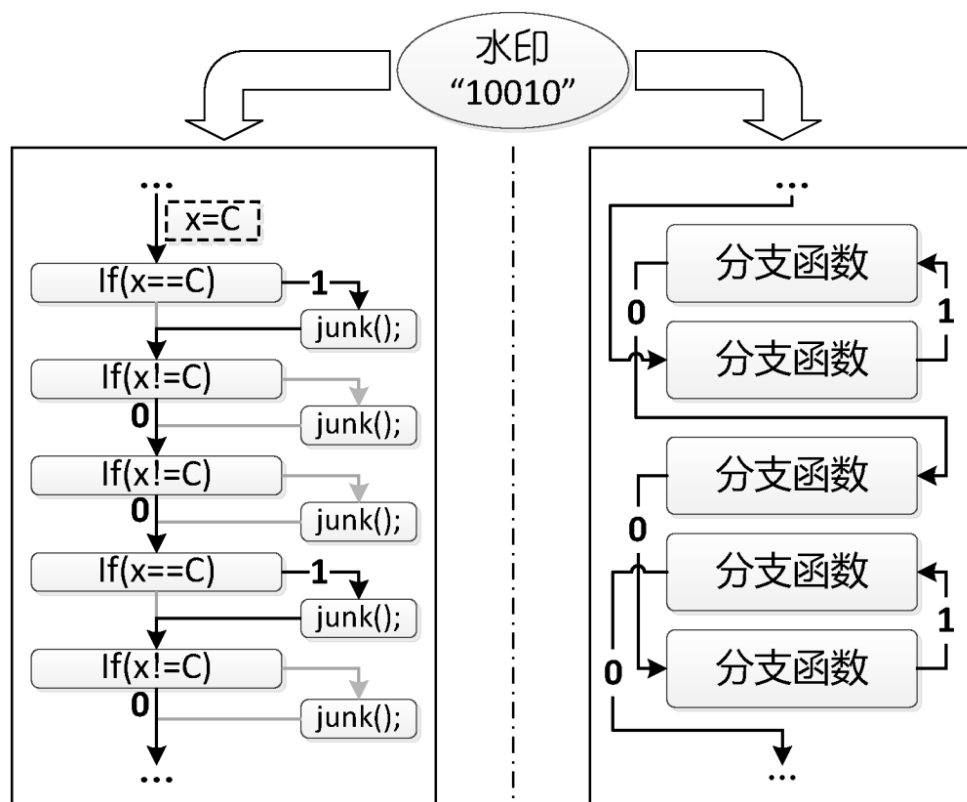
软件水印

□ 传统动态构造1：基于动态生成的图对象



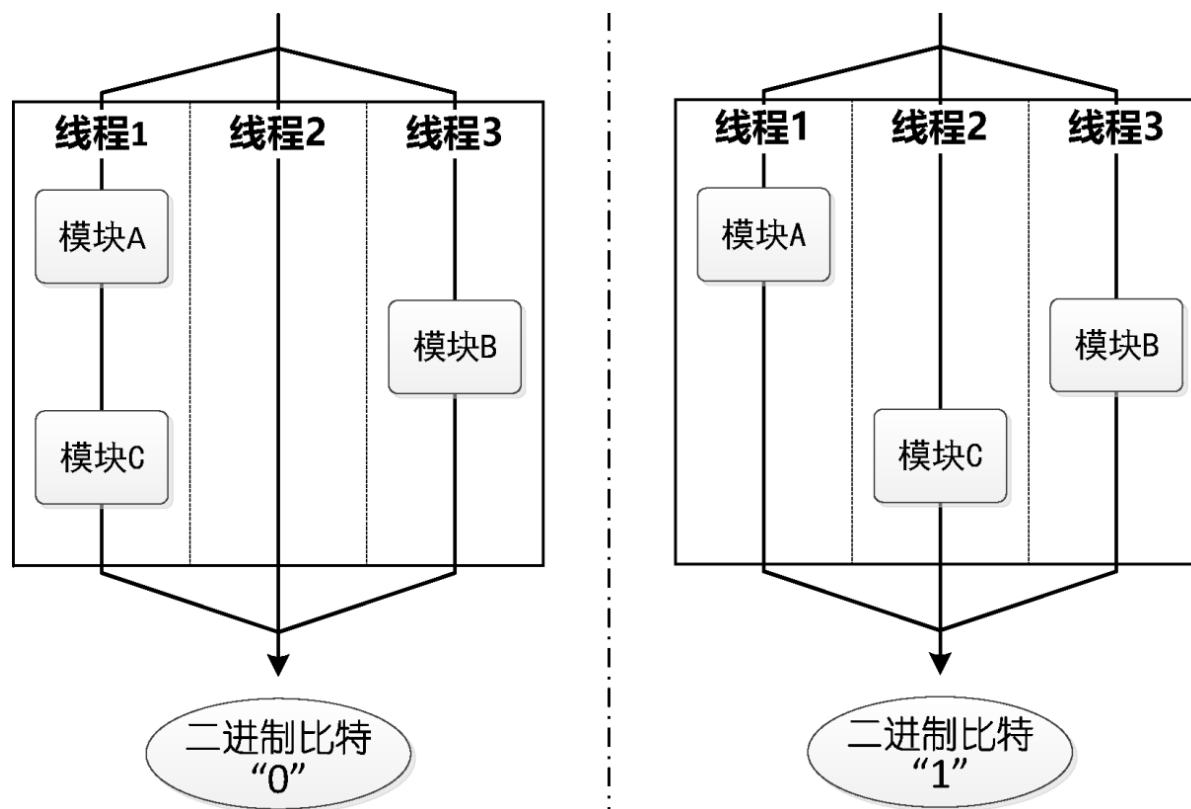
软件水印

□ 传统动态构造2：基于执行路径上的分支行为



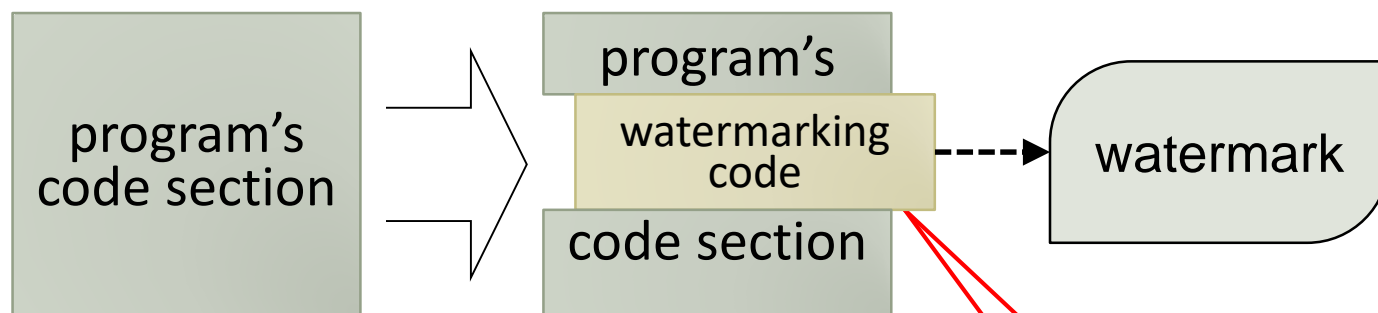
软件水印

□ 传统动态构造3：基于多线程的同步行为



软件水印

□ 传统动态构造的问题1：



- 与主程序的关联性很弱
- 往往具有显著的模式/特征
- 很难予以隐藏或伪装

软件水印

□ 一个特别的设计：基于抽象解释的水印

- 在正常维度上，水印组件服务于载体软件的原本功能
- 在预设的**秘密维度**上，水印组件展示出隐藏的信息

具体域：

$$-1717 \times 15 =$$

待验证命题：
is positive?

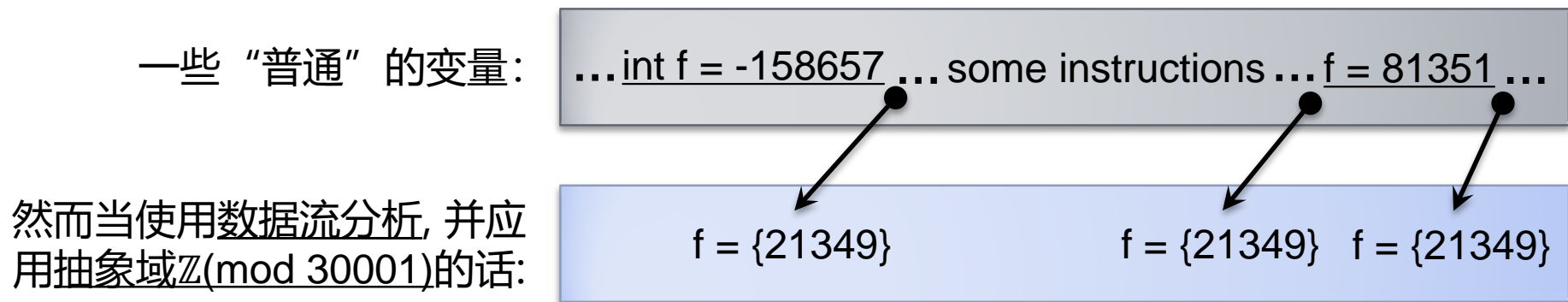
抽象域[+, -, ?]：

$$(-) \times (+) = ?$$

软件水印

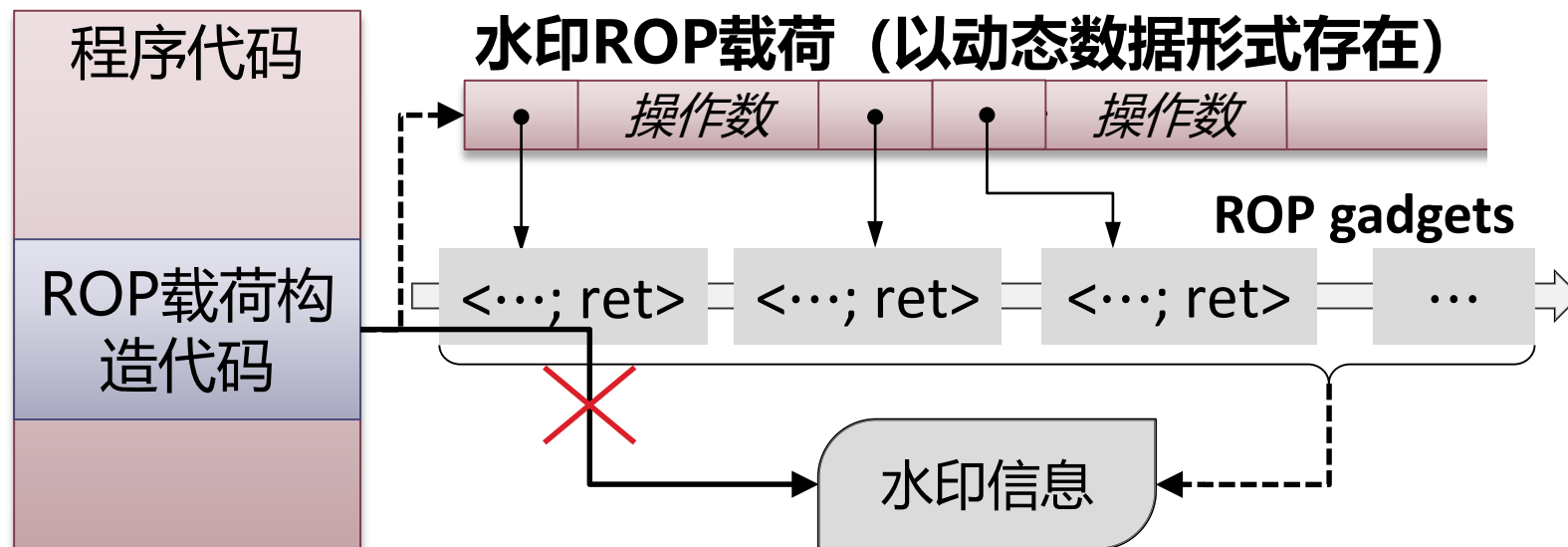
□ 一个特别的设计：基于抽象解释的水印

- 在正常维度上，水印组件服务于载体软件的原本功能
- 在预设的**秘密维度**上，水印组件展示出隐藏的信息



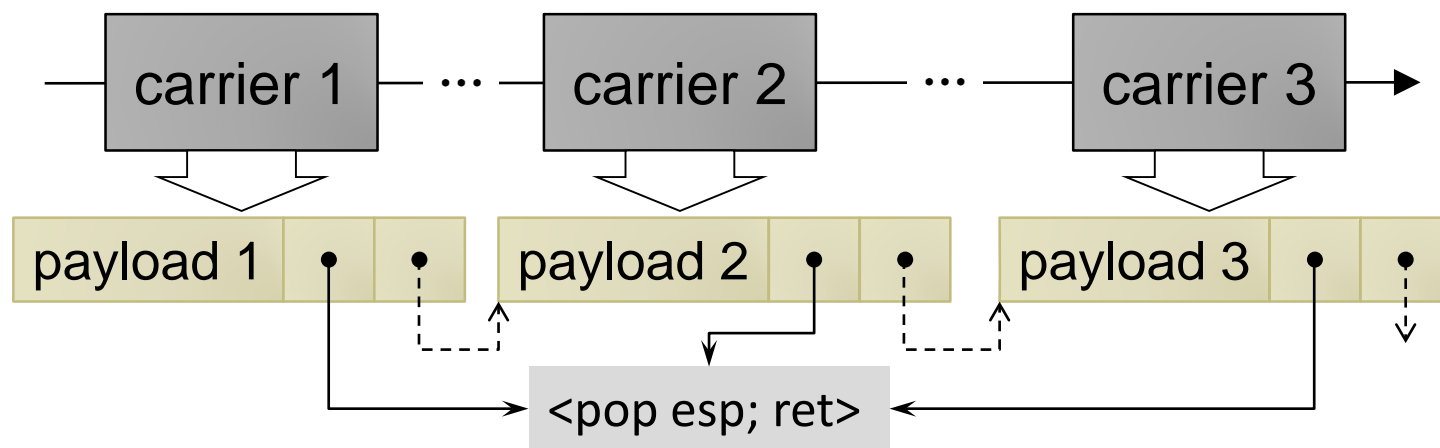
软件水印

改进动态构造1：利用返回导向编程



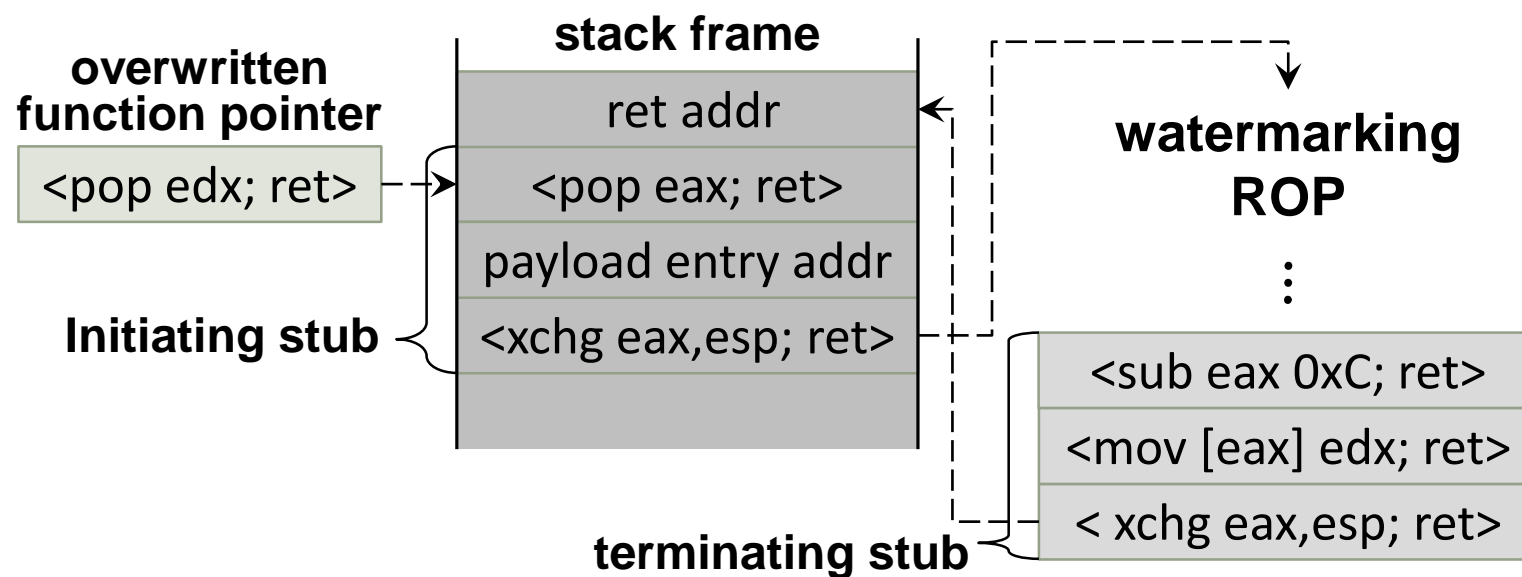
软件水印

改进动态构造1：利用返回导向编程



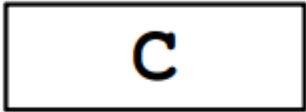
软件水印

改进动态构造1：利用返回导向编程




软件水印

□改进动态构造2：利用代码混淆

```
1  if ( Var == Const ) {  
2        
3  }  
4  }
```



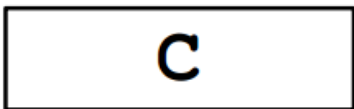
```
1  S = "Rand_String"  
2  V = encrypt(S, Var)  
3  if ( V == M ) {  
4      decrypt(EC, Var)  
5        
6  }  
7  }
```

A SDC segment

Where, $M = \text{encrypt}(S, \text{Const})$, $EC = \text{encrypt}(C, \text{Const})$



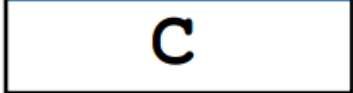
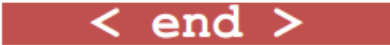
软件水印

改进动态构造2：利用代码混淆

```
1 if ( Var == Const ) {  
2       
3  
4 }
```



`M = encrypt(S, Const)`

```
1 S = "Rand_String"  
2 V = encrypt(S, Var)  
3 if ( V == M ) {  
4     sdc_decrypt(off, len, Var)  
5     key = Const  
6       
7       
8       
9       
10  
11 }
```

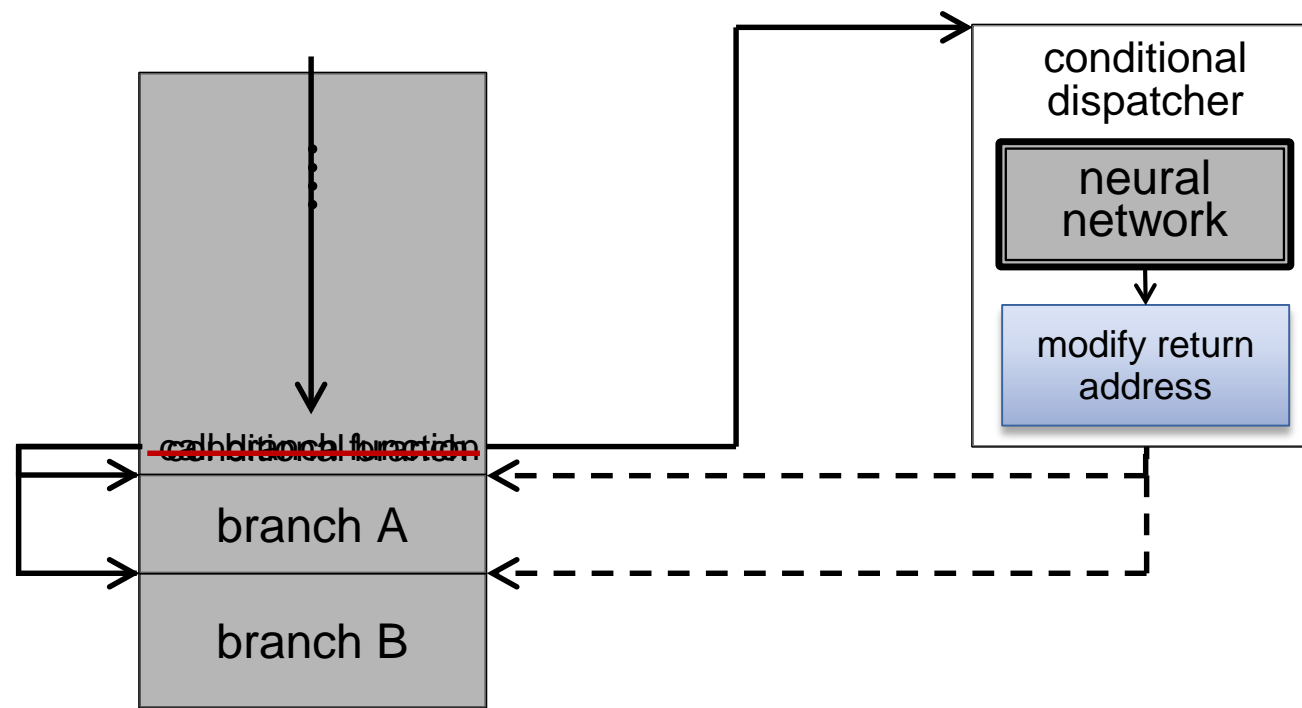
软件水印

□ 传统动态构造的问题2：



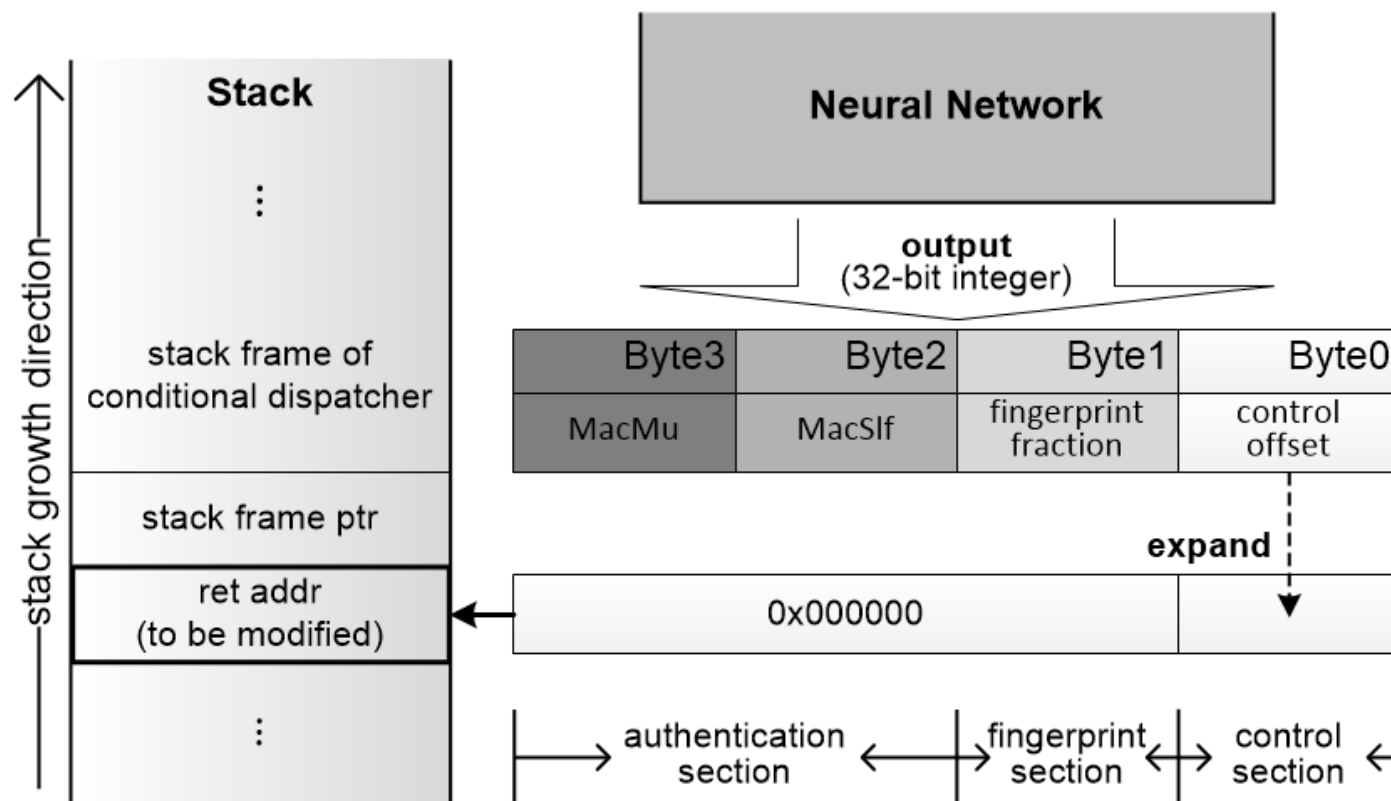
软件水印

改进动态构造3：利用神经网络



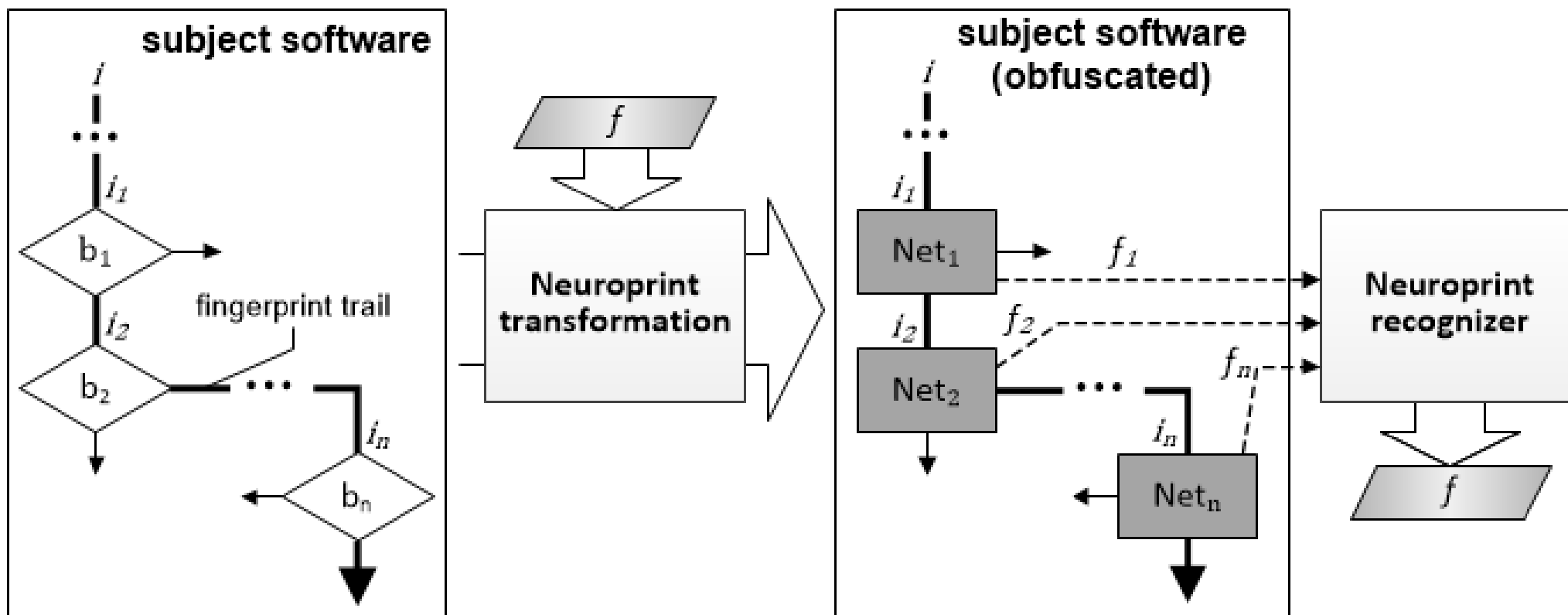
软件水印

改进动态构造3：利用神经网络



软件水印

改进动态构造3：利用神经网络



软件水印

□ 软件水印仍然存在的不足之处

- 没有在真正意义上实现隐蔽性
- 缺乏有效的定性/定量评估标准（特别是隐蔽性这一安全度量）
- 数据嵌入率很差
- 没有解决工业化、自动化实施的问题

软件水印

□ 软件水印仍然存在的不足之处

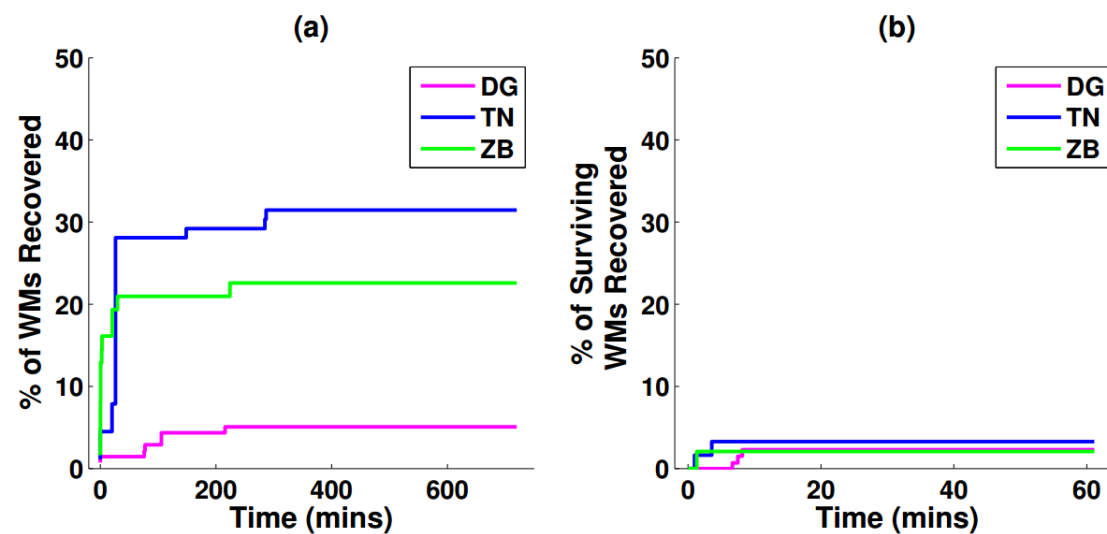


Figure 10: (a) Percentage of watermarks removed by attacker using Monkey. (b) Percentage of surviving watermarks later recovered by human testers.

代码混淆的方法

□参考文献 (still a lot...)

- Collberg C, Thomborson C. Software watermarking: Models and dynamic embeddings[C]//Proceedings of the 26th ACM SIGPLAN-SIGACT symposium on Principles of programming languages. ACM, 1999: 311-324.
- Myles G, Collberg C. Software watermarking through register allocation: Implementation, analysis, and attacks[J]. Information security and cryptology-ICISC 2003, 2004: 274-293.
- Collberg C S, Thomborson C, Townsend G M. Dynamic graph-based software fingerprinting[J]. ACM Transactions on Programming Languages and Systems (TOPLAS), 2007, 29(6): 35.

代码混淆的方法

□参考文献 (and more...)

- Collberg C, Carter E, Debray S, et al. Dynamic path-based software watermarking[J]. ACM Sigplan Notices, 2004, 39(6): 107-118.
- Nagra J, Thomborson C. Threading software watermarks[C]//International Workshop on Information Hiding. Springer Berlin Heidelberg, 2004: 208-223.
- Cousot P, Cousot R. An abstract interpretation-based framework for software watermarking[C]//ACM SIGPLAN Notices. ACM, 2004, 39(1): 173-185.

代码混淆的方法

□参考文献 (finally...)

- Ma H, Lu K, Ma X, et al. Software Watermarking using Return-Oriented Programming[C]//Proceedings of the 10th ACM Symposium on Information, Computer and Communications Security. ACM, 2015: 369-380.
- Ren C, Chen K, Liu P. Droidmarking: resilient software watermarking for impeding android application repackaging[C]//Proceedings of the 29th ACM/IEEE international conference on Automated software engineering. ACM, 2014: 635-646.
- Ma H, Li R, Yu X, et al. Integrated Software Fingerprinting via Neural-Network-Based Control Flow Obfuscation[J]. IEEE Transactions on Information Forensics and Security, 2016, 11(10): 2322-2337.

The End

